

# Ionizační manometry

Princip: ionizace molekul a měření počtu nabitých částic

Rozdělení podle způsobu ionizace:

- Manometry se žhavenou katodou
- Manometry se studenou katodou

Při ionizaci plynu o koncentraci  $n$  nejsou ionizovány všechny molekuly, ale jenom část z nich  $n_i = \gamma n$ ;  $\gamma < 1$ .

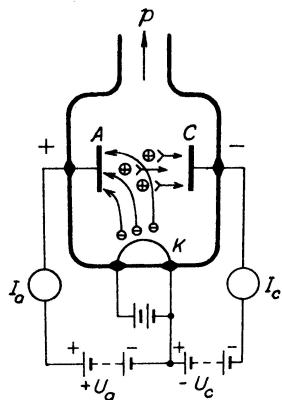
## Podmínky činnosti:

- je nutné pracovat při stejné teplotě, při které byl manometr cejchován.
- koeficient  $\gamma$  musí být konstantní v celém oboru měřených tlaků
- měřený iontový proud musí být tvořen pouze ionty molekul plynu - vyloučit parazitní proudy
- měřit všechny vzniklé ionty

## Nevýhody:

- čerpací efekt - sorpce plynů vlivem elektrického náboje
- desorpce plynů z elektrod vlivem velké teploty

# Ionizační manometr se žhavenou katodou



J. Groszkowski: Technika vysokého vakua, SNTL, Praha 1981

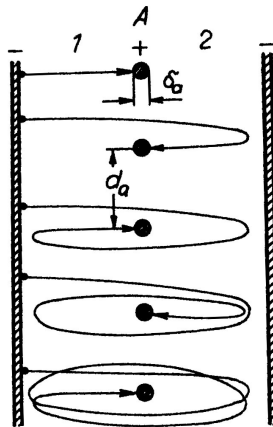
Katoda vytváří elektronový proud  $I_e$ , který ionizuje plyn. Kolektor sbírá kladné ionty.  $I_p$  - proud kladných iontů na kolektor,  $I_e$  - emisní elektronový proud na anodu,  $p$  - tlak plynu

$$I_p = K_0 I_e p \Rightarrow p = \frac{1}{K_0} \frac{I_p}{I_e}$$

$K_0 [\text{Pa}^{-1}]$  citlivost manometru, liší se pro různé plyny, protože se plyny liší koeficientem specifické ionizace -  $\epsilon$

$\epsilon$  - množství iontů vytvořených jedním elektronem na dráze 1 cm v daném plynu při tlaku 133 Pa a teplotě 273 K. Závisí na energii elektronů - tedy na urychlovacím napětí.

	He	Ne	H <sub>2</sub>	N <sub>2</sub>	CO	O <sub>2</sub>	Ar	Hg
$\epsilon_{max}$	1,2	3	3,7	10	11	12	13	19
$U_{max} [\text{V}]$	110	170	65	95	100	120	90	85



Kmity elektronů při použití mřížkové anody.  
J. Groszkowski: Technika vysokého vakua, SNTL, Praha 1981

Dopad iontů na kolektor závisí na

- potenciálu kolektoru
- na tvaru kolektoru
- na poloze kolektoru vzhledem k prostoru, kde dochází k ionizaci

Pravděpodobnost ohybu dráhy iontů se zvyšuje s rostoucí počáteční rychlostí iontů a se zmenšováním průměru kolektoru. Pokud nejsou v obvodu kolektoru žádné další proudy je iontový kolektorový proud mírou tlaku.

$$I_c = I_p = K_0 I_{ep}$$

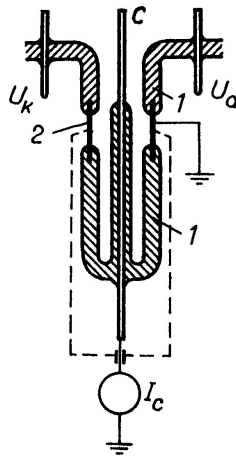
Ve skutečnosti se mohou v obvodu kolektoru projevit parazitní proudy.

$$I_c = I_p + \sum_i I_i = K_0 I_{ep} + \sum_i I_i$$

Parazitní proudy omezují možnost měření nízkých tlaků.

# Parazitní proudy

- **Proud vyvolané rentgenovým a ultrafialovým zářením** - Anoda se vlivem dopadu elektronů s velkou energií stává zdrojem měkkého rentgenového záření. V důsledku elektromagnetického ozáření povrchu kolektoru vzniká fotoemise z kolektoru. Je nutné pracovat s nízkou teplotou katody. Parazitní proud  $I_1 \sim A_c I_e \frac{1}{D_{AC}}$ ,  $A_c$  - plocha kolektoru,  $I_e$  - anodový proud,  $D_{AC}$  - vzdálenost anoda-kolektor.
- **Proud vyvolané elektronovou desorpcí** - při bombardování povrchu elektrony se mohou uvolňovat neutrální atomy a molekuly, ionizované atomy a molekuly, disociovány molekuly.
- **Iontový proud ze žhavené katody** - katoda může emitovat i ionty, používat nízkou teplotu katody, projevuje se pouze při velmi nízkých tlacích.
- **Svodové proudy** - nedokonalá izolace kolektoru od ostatních elektrod.



Odstranění svodových proudů.

J. Groszkowski: Technika vysokého vakua, SNTL, Praha 1981

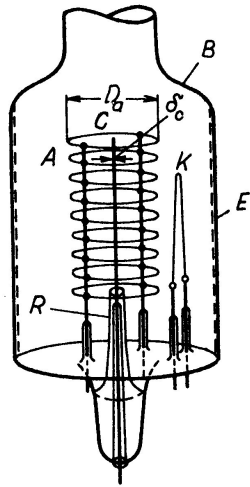
Při činnosti ionizačního manometru dochází k zachycování iontů kolektorem a tím k čerpacímu efektu.

### Konstrukce manometru

- s vnějším kolektorem - kolektor válcový, anoda válcová mřížka, katoda uvnitř anody
- s vnitřním kolektorem Bayard-Alpert - kolektor tenký drátek uprostřed, anoda válcová mřížka, katoda vně mřížky

Uspořádání Bayard-Alpert měří do nižších tlaků ( $10^{-9}$  Pa) než uspořádání s vnějším kolektorem. Spodní hranice měřitelného tlaku je dána zejména parazitním foto-proudem.

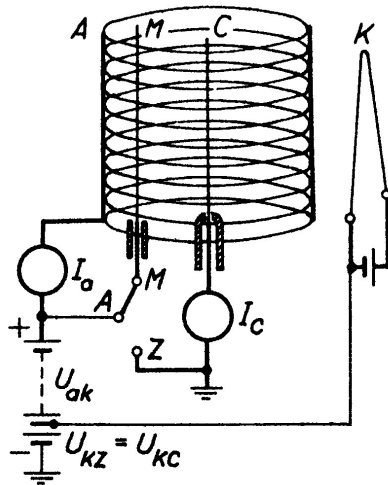
Maximální měřitelný tlak  $10^0$  Pa.



J. Groszkowski: Technika vysokého vakua, SNTL, Praha 1981

# Ionizační manometry se žhavenou katodou

- Ionizační manometry mění složení i tlak měřeného plynu.
- chyba měření  $\sim 15\%$ .
- speciální modifikace vnořený manometr.
- řada konstrukčních modifikací



Modifikace Bayard-Alpert-Redhead, pro měření nízkých tlaků  
 J. Groszkowski: Technika vysokého vakua, SNTL, Praha 1981

Měření probíhá ve dvou krocích

- nejdříve spojíme modulátor s anodou ( $M \rightarrow A$ )
- pak ho spojíme s kolektorem ( $M \rightarrow Z$ ), část iontů proudí na modulátor

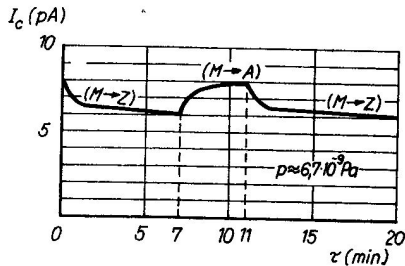
$$M \rightarrow A ; I'_c = S'p + I'_x$$

$$M \rightarrow Z ; I''_c = S''p + I''_x$$

$$S'' < S' \Rightarrow I'_c - I''_c = (S' - S'')p + (I'_x - I''_x)$$

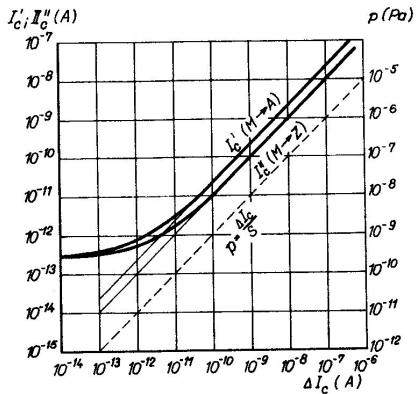
$$I'_x = I''_x \Rightarrow p = \frac{I'_c - I''_c}{S' - S''}$$

můžeme měřit tlaky  $\sim 10^{-10}$  Pa (tenze par W při  $T=2000$  K  
 $P_p \sim 10^{-10}$  Pa)

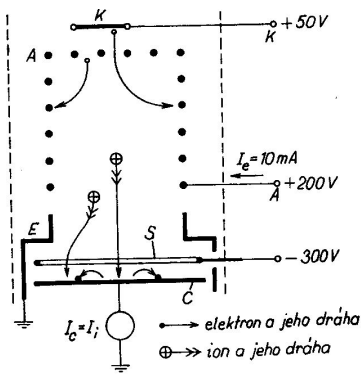


Obr. 5.49. Změny kolektorového proudu  $I_c$  při modulaci v Bayardově–Alpertově–Redheadově vakuometru. Zpomalené ustalování proudu  $I_c$  je způsobeno mezi jiným sorpčními a desorpčními procesy na modulátoru

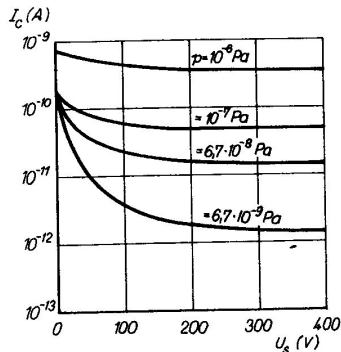
J. Groszkowski: Technika vysokého vakua, SNTL, Praha 1981



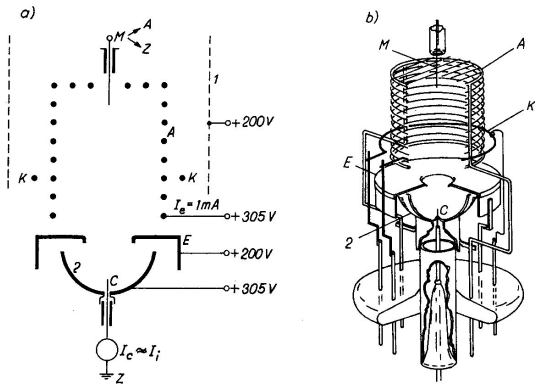
Obr. 5.48. Charakteristiky modulátorového vakuometru. Kolektorový proud:  $I'_c$  – při spojení modulátoru  $M$  s anodou ( $M \rightarrow A$ );  $I''_c$  – při spojení modulátoru se zemí ( $M \rightarrow Z$ ); závislost tlaku na rozdílovém modulačním proudu  $\Delta I_c$  je vyznačena čárkováně



Obr. 5.51. Schuemannův vakuometr s potenciálovou bariérou  
 A – mřížková anoda; K – katoda;  
 C – kolektor; E – stínění; S – prstencová elektroda (supresor)

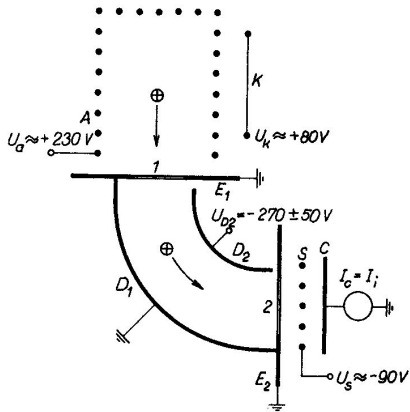


Obr. 5.52. Závislost kolektorového proudu  $I_c$  na potenciálu (záporném) supresoru  $U_s$  a tlaku  $p$



Obr. 5.53. Redheadův extraktorový vakuometr: a) schéma, b) konstrukční provedení.  
Stínění a baňka jsou na potenciálu katody (200 V), reflektor iontů je spojen s anodou (305 V)

$A$  – mřížková anoda jedné strany otevřená;  $E$  – stínění;  $K$  – prstencová katoda (thoriovaný wolfram);  $C$  – kolektor;  $M$  – modulátor;  $I$  – baňka s pokoveným vnitřním povrchem;  $2$  – reflektor iontů



Obr. 5.56. Helmerův–Haywardův vakuometr se zakřiveným svazkem iontů  
 $A$  – anoda;  $K$  – katoda;  
 $E_1, E_2$  – clony;  $D_1, D_2$  – elektrody deflektoru;  $C$  – kolektor;  
 $S$  – supresorová mřížka;  
 $1, 2$  – otvory v clonách

J. Groszkowski: Technika vysokého vakua, SNTL, Praha 1981

# Ionizační manometr se studenou katodou (Výbojový manometr)

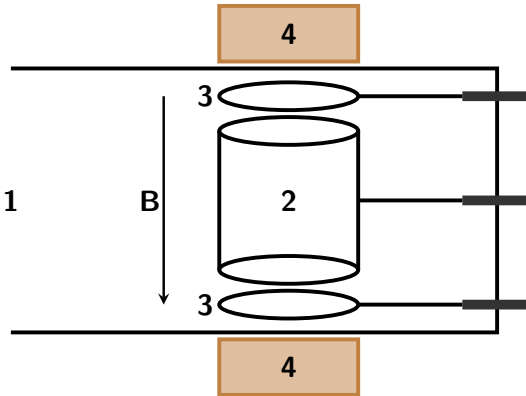
Princip: samostatný výboj

Výbojové manometry s magnetickým polem

Existují dvě základní konstrukce:

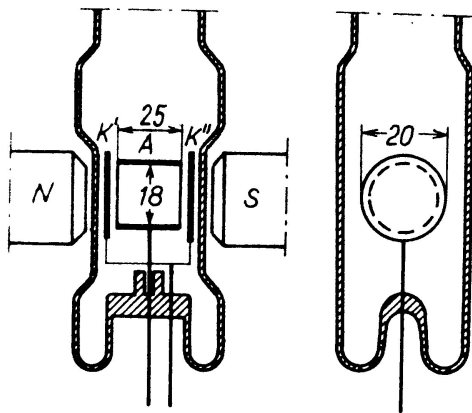
- 1936 – Penningův manometr
- 1958 – Inverzní magnetron

# Penningův manometr



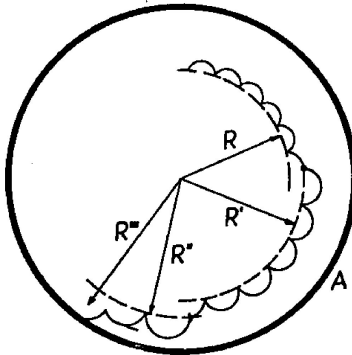
- 1 – připojení měřeného tlaku, 2 – válcová anoda, 3 – katoda,  
4 – permanentní magnet

a)



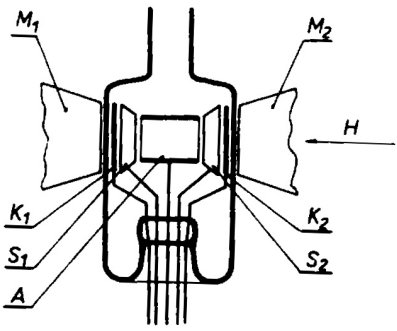
## Výbojový manometr - Penning

J. Groszkowski: Technika vysokého vakua, SNTL, Praha 1981

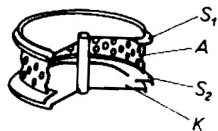


Obr. 7-26. Dráhy elektronu ve výbojovém manometru s magnetickým polem.

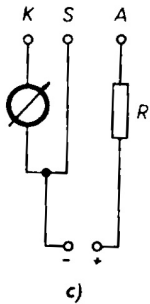
L. Pátý: Fyzika nízkých tlaků, Academia, Praha 1968



a)

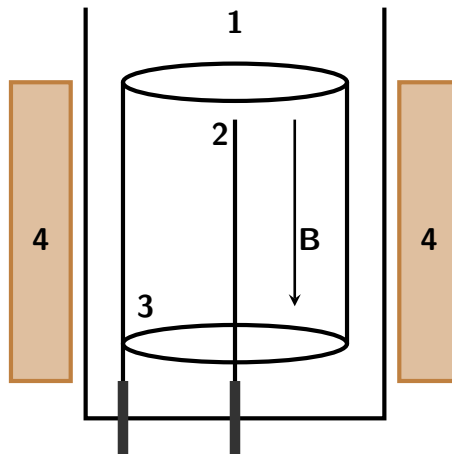


b)

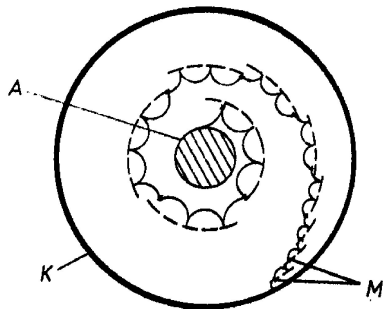


L. Pátý: Fyzika nízkých tlaků, Academia, Praha 1968

# Inverzní magnetron



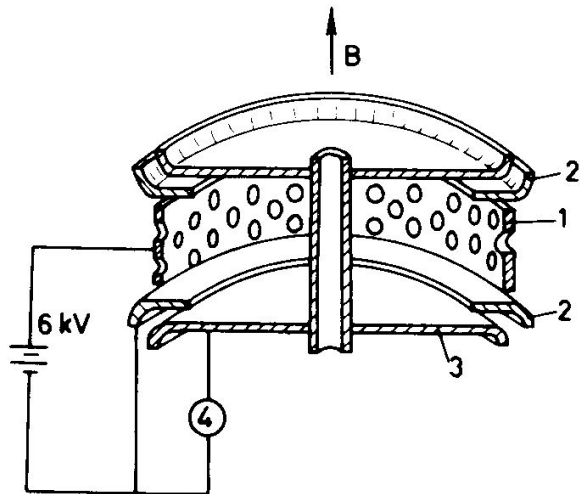
- 1 – připojení měřeného tlaku, 2 – anoda, 3 – válcová katoda,  
4 – permanentní magnet



Obr. 7-30. Dráhy elektronu v inverzním  
výbojovém manometru

**A** — anoda  
**K** — katoda  
**M** — místa srážky.

L. Pátý: Fyzika nízkých tlaků, Academia, Praha 1968



A. Roth: Vacuum technology, Elsevier, 1990

# Parametry manometrů

Proud procházející výbojem je mírou tlaku  $I = f(p)$ .

$$I \sim N_e L_i d_0^2 p e^{-\frac{U_i d_0}{kT}}$$

- $N_e$  - počet elektronů emitovaných katodou za 1 s
- $L_i$  - dráha na které dochází k ionizaci
- $d_0$  - efektivní průměr molekuly plynu
- $U_i$  - ionizační potenciál plynu
- $E$  - intenzita elektrického pole mezi K–A
- $p$  - tlak plynu

výbojový proud můžeme approximovat:

$$I = K_1 p^u$$

pro většinu plynu v oboru tlaků  $10^{-2}$  až  $10^{-7}$  Pa platí  $1,10 \leq u \leq 1,15$

Manometry se studenou katodou jsou závislé na druhu plynu.  
Například pro měrku IKR 050 (Pfeiffer) platí pro tlaky  $< 10^{-3}$  Pa

$$p_{\text{eff}} = C \times p_r$$

plyn	C
vzduch ( $\text{N}_2$ , $\text{O}_2$ , CO)	1,0
Xe	0,4
Kr	0,5
Ar	0,8
$\text{H}_2$	2,4
Ne	4,1
He	5,9

# Parametry

- velikost magnetického pole  $0,02 - 0,1 \text{ T}$
- velikost napětí  $2 - 6 \text{ kV}$
- výbojového proudu  $< 2 \text{ mA}$
- rozsah měřených tlaků  $10^{-1} - 10^{-7} \text{ Pa}$  ( $10^{-9} \text{ Pa}$ )
- typická chyba měření  $15 - 30 \%$
- **Penningův manometr** - Anoda ve tvaru válce, dvě ploché katody, magnetické pole kolmé ke katodě
- **Inverzní magnetron** - Katoda ve tvaru válce, tyčová anoda, magnetické pole rovnoběžné s anodou

# Provoz a použití

- aktivní, nebo pasivní provedení
- libovolná orientace
- magnetické pole
- rozprašování elektrod
- čištění manometrů
- teplota odplynění 150 – 250 °C

# Výhody a nevýhody

## Výhody

- robustní konstrukce
- jednoduchý měřící obvod
- rozsah měřených tlaků
- vydrží prudké zavzdoušnění

## Nevýhody

- čerpací efekt
- závislost na druhu plynu
- chyba měření
- špatně startuje při nízkých tlacích ( $10^{-7}$  Pa  $\sim$  5 minut)

# Tepelné manometry

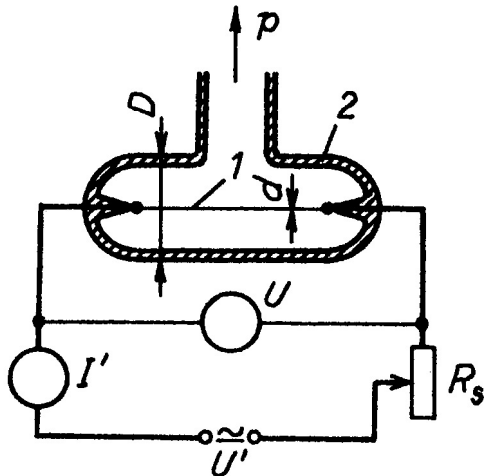
Princip je založen na závislosti tepelné vodivosti plynu na tlaku.

Podstatnou částí manometru je nějaký citlivý element, který je elektrickým příkonem  $P$  vyhříván na teplotu  $T$ , vyšší než je teplota okolí  $T_0$ .

Nejčastěji měříme teplotu  $T$ :

- z velikosti odporu - odporové manometry
- pomocí termočlánku - termočlánkové manometry
- z deformace bimetalu - dilatační manometry

## Odporové manometry - Pirani



J. Groszkowski: Technika vysokého vakua, SNTL, Praha 1981

## Odpor vlákna $R = f(T)$

$$P_e = UI = I^2 R = \frac{U^2}{R} ; \quad R = R_0(1 + \beta(T - T_0))$$

$$P_e = P_c + P_z + P_p$$

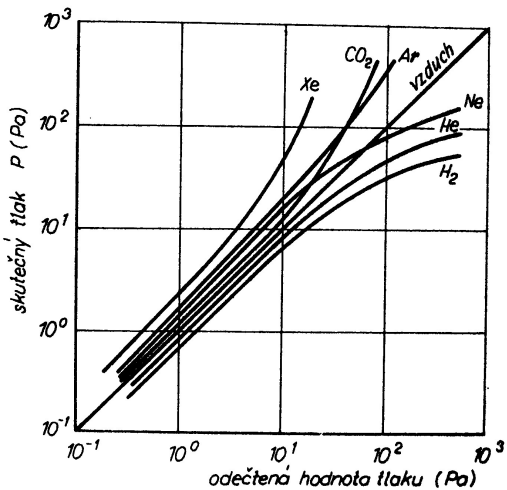
- $P_c$  - výkon odváděný molekulami plynu
- $P_z$  - výkon odváděný zářením vlákna
- $P_p$  - výkon odváděný přívody vlákna

$$P_z = S_0 \sigma \varepsilon (T^4 - T_0^4)$$

$$P_c = [\alpha \lambda_T(p)] S_0 (T - T_0)$$

$\alpha$  - akomodační koeficient

$\lambda_T(p)$  - tepelná vodivost

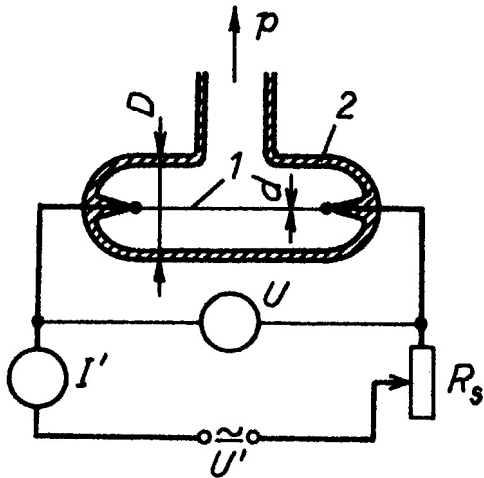


Závislost na druhu plynu, na ose x je tlak z Piraniho manometru.  
 J. Groszkowski: Technika vysokého vakua, SNTL, Praha 1981

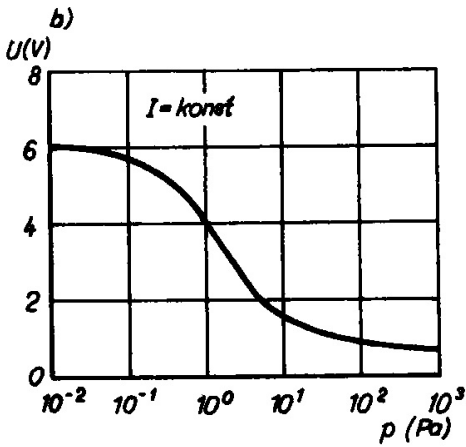
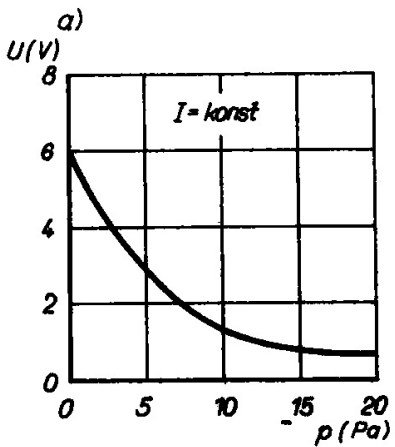
# Metody měření

- Metoda konstantního proudu
- Metoda konstantní teploty (odporu)

# Metoda konstantního proudu

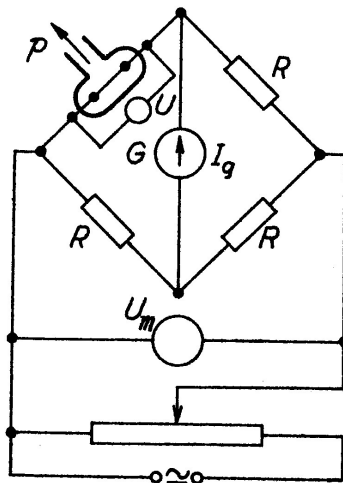


J. Groszkowski: Technika vysokého vakua, SNTL, Praha 1981

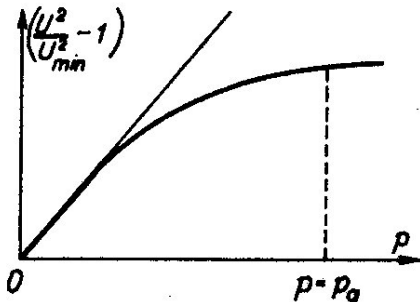


Obr. 5.19. Závislost  $U = f(p)$  u manometru měřicího při  $I = \text{konst}$   
a) lineární stupnice, b) semilogaritmická stupnice

# Metoda konstantní teploty (odporu)

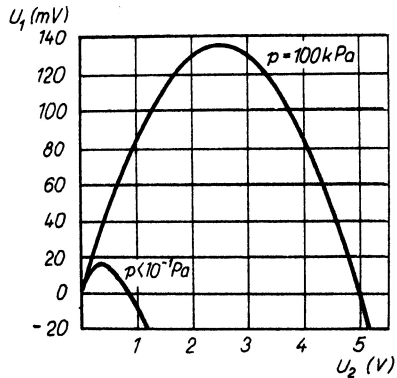
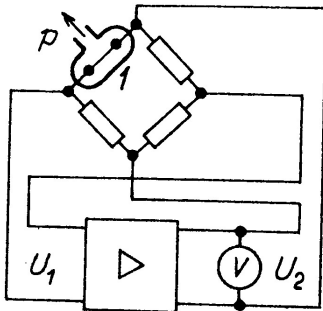


J. Groszkowski: Technika vysokého vakua, SNTL, Praha 1981



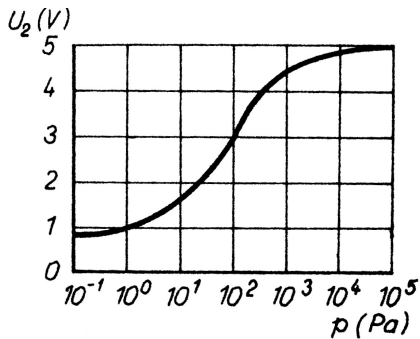
Obr. 5.18. Závislost  $\frac{U^2}{U_{\min}^2} - 1 = f(p)$ .  
Při nízkých tlacích je lineární

a)



Tepelný vakuometr s konstantním odporem

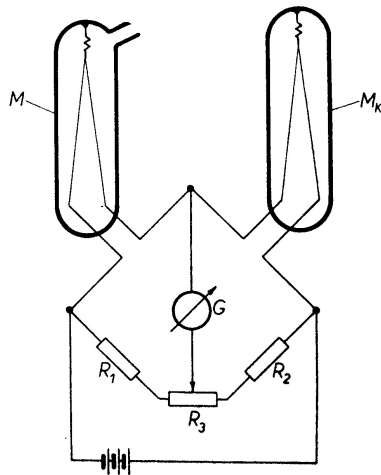
J. Groszkowski: Technika vysokého vakua, SNTL, Praha 1981



Vlákno  $d = 50 \mu\text{m}$ ,  $L = 50 \text{ mm}$ , teplota  $T = 470 \text{ K}$ ,  
měřící obor  $10 - 5000 \text{ Pa}$

J. Groszkowski: Technika vysokého vakua, SNTL, Praha 1981

# Kompenzace teploty



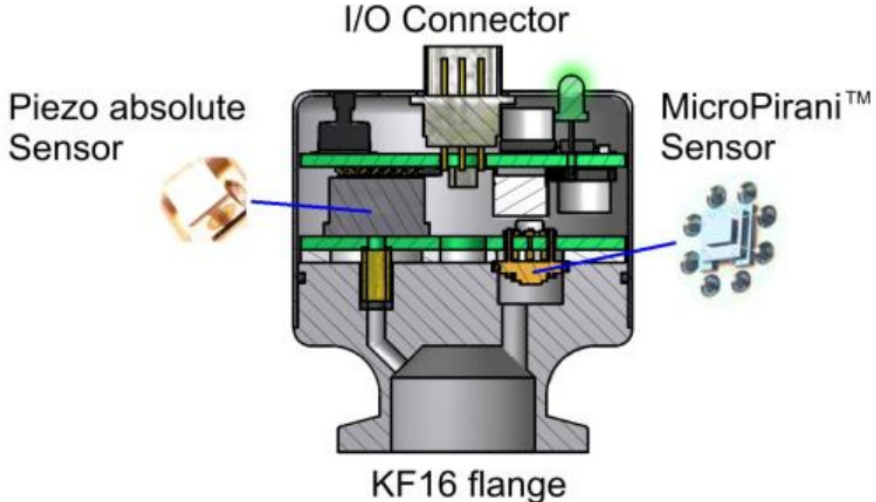
Stará metoda kompenzace teploty, dnes se používají teplotní čidla - termistor, Pt1000,...

L. Pátý: Fyzika nízkých tlaků, Academia, Praha 1968

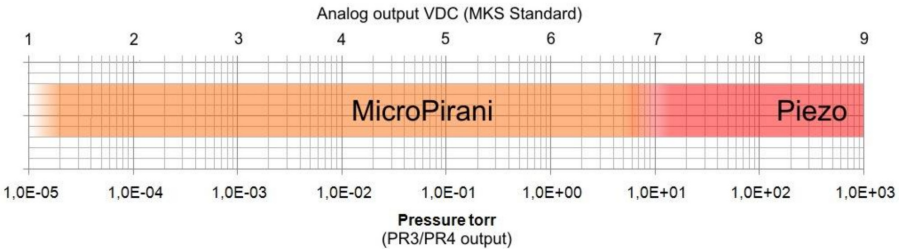
# Pirani manometr

- velmi jednoduchá konstrukce
- měřící rozsah  $10^{-2} - 10^5$  Pa, v rozsahu  $10^4 - 10^5$  Pa měří s velkou chybou
- chyba měření asi  $\sim 15\%$ , typicky v rozsahu  $10^{-2} - 10^4$  Pa
- závisí na druhu plynu a na okolní teplotě

# MicroPirani - MKS 910



# MKS 910



manuál MKS - 910

# MKS 910

## Specifications

Measuring range (N<sub>2</sub> and Air):  $1 \times 10^{-5}$  to 1500 Torr

### MicroPirani

Accuracy <sup>(1)</sup> (N <sub>2</sub> )	5 $\times 10^{-4}$ to 1 $\times 10^{-3}$ Torr:	$\pm 10\%$ of reading
	1 $\times 10^{-3}$ to 100 Torr:	$\pm 5\%$ of reading
	100 Torr to Atm.:	$\pm 25\%$ of reading
Repeatability <sup>(1)</sup> (N <sub>2</sub> ):	1 $\times 10^{-3}$ to 100 Torr:	$\pm 2\%$ of reading

### Piezo absolute

Accuracy Piezo <sup>(1)</sup>	0.1 to 10 Torr:	$\pm 1\%$ of reading
	10 to 1000 Torr:	$\pm 0.75\%$ of reading
	1000 to 1500 Torr:	$\pm 2\%$ of reading
Repeatability <sup>(1)</sup> (N <sub>2</sub> ):	10 to 800 Torr	$\pm 0.2\%$ of reading

Supply Voltage:

9 – 30 VDC

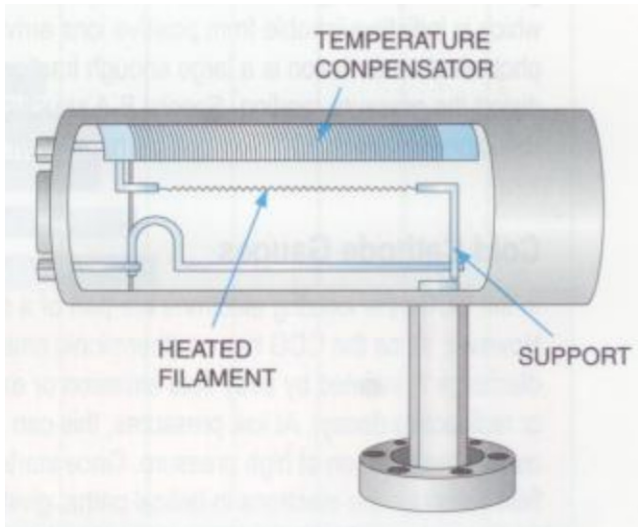
Power consumption:

< 1.2 Watt

Fuse (thermal recoverable):

200 mA

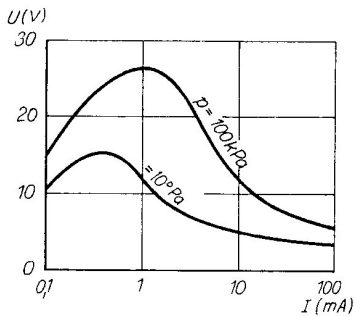
# Convection



firemní materiály firmy Kurt J. Lesker

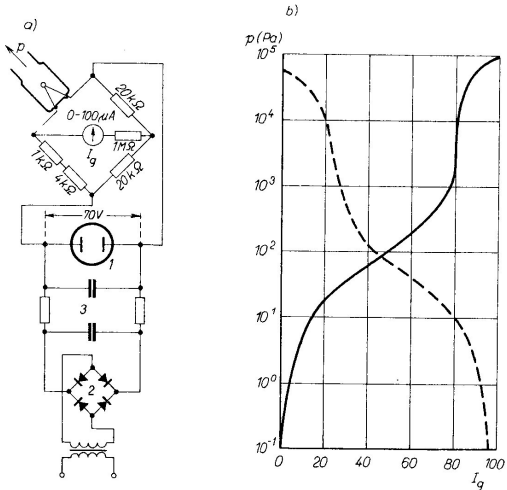
- využívá i tepelnou konvekci plynu
- předepsaná orientace
- měřící rozsah  $10^{-2} - 10^5$  Pa
- chyba měření asi  $\sim 15\%$

# Termistorový manometr



Obr. 5.22. Voltampérová charakteristika termistorového měřicího elementu

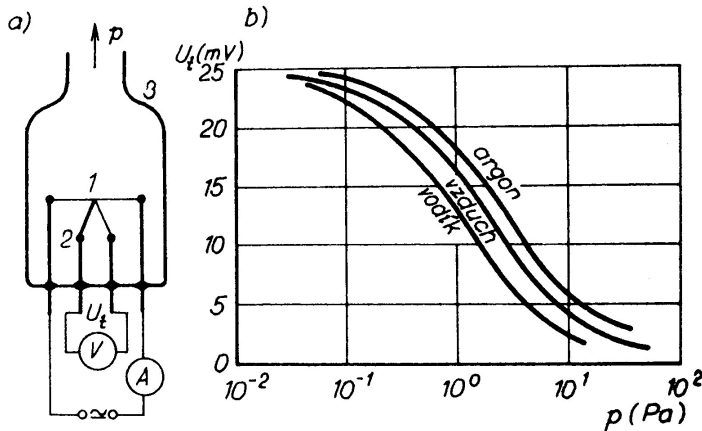
J. Groszkowski: Technika vysokého vakua, SNTL, Praha 1981



Obr. 5.23. Termistorový vakuometr (podle Pytkowského, 1955)

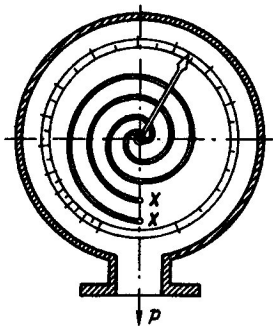
- a) elektrické schéma: 1 – výbojový stabilizátor napětí; 2 – usměrňovač proudu; 3 – filtr;
- b) kalibrační křivky pro vzduch při můstku v rovnováze: můstek vyrovnán při tlaku  $p \ll 10^{-1}$  Pa (plně); můstek vyrovnán při atmosférickém tlaku (čárkováně)

# Termočlánkový-manometr



J. Groszkowski: Technika vysokého vakua, SNTL, Praha 1981

# Dilatační manometr

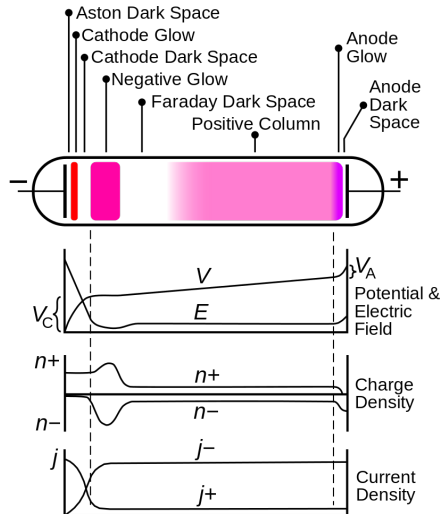


Obr. 5.26. Dvojkovový dilatační vakuometr (dle Klumba a Haase, 1936). Dvě dvojkovové (bimetalové) spirály jsou upevněny na svých koncích xx a jejich druhé konce jsou spojeny s ručičkou. Spirálami prochází proud, který je zahřívá. Ručička se otáčí v závislosti na tlaku

5W; 0,1-100 Pa

J. Groszkowski: Technika vysokého vakua, SNTL, Praha 1981

# Indikace tlaku podle výboje



Pouze přibližná metoda.

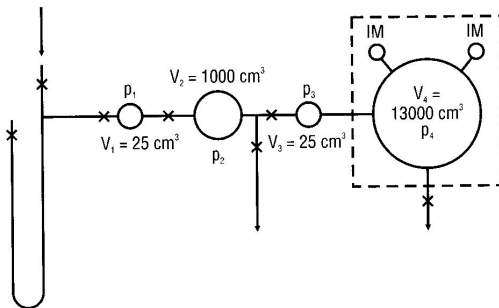
$P[\text{Pa}]$	Tvar výboje
$5 \times 10^3 - 10^3$	hadovitý výboj
$10^3 - 5 \times 10^2$	elektrody se pokryjí doutnavým světlem
$10^2$	kladný sloupec vyplní 2/3 trubice
$5 \times 10^1$	vrstvy v kladném sloupci
10	vrstvy mizí, záporné světlo 1/2 trubice
5	záporné světlo v celé trubici, fluorescence skla
1	fluorescence mizí

# Kalibrace manometrů

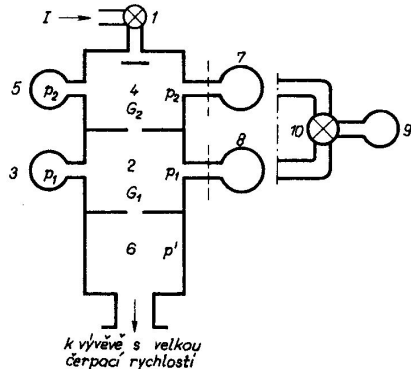
- Přímé porovnání
- Redukce tlaku
  - metody statické
  - metody dynamické

# Statická expanze

$$p_n = p_1 \cdot \frac{V_1}{V_1 + V_2} \cdot \frac{V_2}{V_2 + V_3} \cdots \frac{V_{n-1}}{V_{n-1} + V_n}$$



# Dynamická expanze



Obr. 5.92. Aparatura pro kalibraci vakuometrů metodou s konstantním proudem. Místo dvou vakuometrů (7, 8) je možno použít jen jeden (9) s dvoucestným kohoutem (10);  
1, 10 – kohouty; 2, 4, 6 – komory;  
3, 5, 7, 8, 9 – vakuometry;  
 $G_1$ ,  $G_2$  – vodivosti otvorů mezi příslušnými komorami

J. Groszkowski: Technika vysokého vakua, SNTL, Praha 1981

$$I = G_2(p_2 - p_1) = G_1(p_1 - p')$$

$$\frac{p_2}{p_1} = 1 + \frac{G_1}{G_2}\left(1 - \frac{p'}{p_1}\right)$$

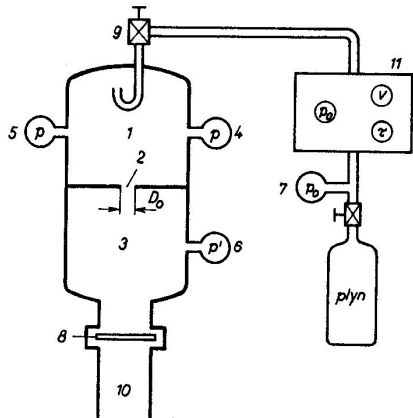
pro velkou čerpací rychlosť  $p' \ll p_1$

$$p_1 = \frac{1}{1 + \frac{G_1}{G_2}} p_2$$

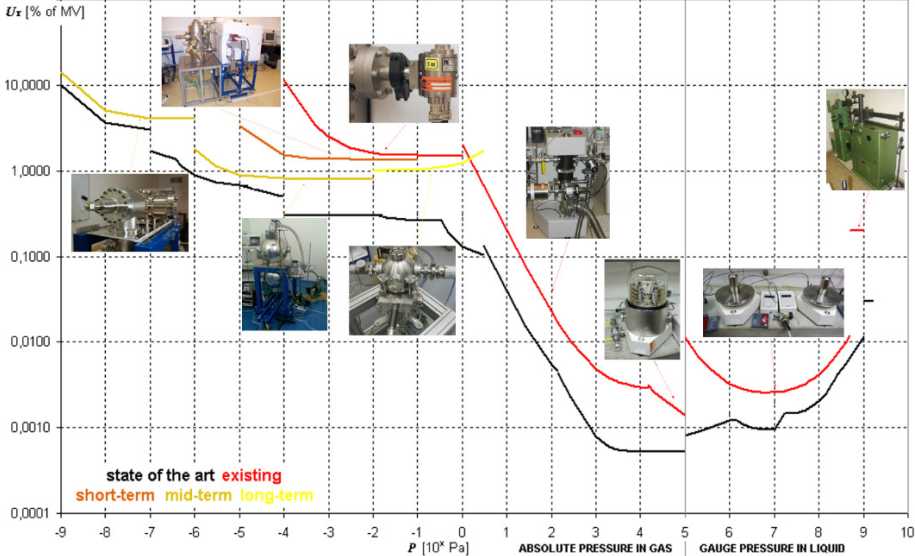
pro  $G_2 \ll G_1$

$$p_1 = \frac{G_2}{G_1} p_2$$

$$p = \frac{I}{S}$$



Obr. 5.93. Standardní metoda  
cejchování vakuometrů v oboru  
tlaků  $10^{-1}$  až  $10^{-5}$  Pa  
1, 3 – komory; 2 – kalibrovaný  
otvor; 4 – kalibrační (přesný)  
vakuometr; 5, 6, 7 – vakuometry;  
8 – regulační ventil (záklopka);  
9 – vpouštěcí ventil; 10 – difúzní  
vývěva; 11 – volumetrické zařízení



Přehled etalonů metrologického institutu a jejich nejistot měření v závislosti na tlaku.  
materiály ČMI